## ДАЛЬНИЕ НЕЛОКАЛЬНЫЕ ПРИБОРНЫЕ ВЗАИМОДЕЙСТВИЯ В ФОРМИРОВАНИИ КОНЦЕПЦИИ «ТЕЛЕПОРТАЦИИ ИНФОРМАЦИИ»

## Смирнов А.Ю.

Целью работы является исследование дальнодействующих «нелокальных взаимодействий» (НВ) и их физических механизмов. Представлены результаты НВ на живые существа с использованием их образов, созданных физическими методами (по фотонегативам). Обсуждается роль состояния (и содержания) сознания экспериментатора в реализации НВ.

Сформулирован гносеологический парадокс «психофизики» (ГПП) состоящий в том, что в рамках последовательно применяемых методов и подходов классической науки получены сведения, противоречащие ее теоретическим основаниям (в виде феноменов «психофизики»). Предложены пути разрешения ГПП, путем формирования адекватных для «психофизики» символьных языков, кодов и методов кодирования — декодирования информации.

Предполагается и обсуждается существование универсального физического фактора, определяющего проявления дальнодействующих нелокальных воздействий (ДНВ). Техногенные устройства «генераторы» модифицируют, а операторы, обладающие сознанием, «конструируют» проявления. Представлены сведения о «генераторах» и «регистраторах» ДНВ.

Предполагается, что «энергоинформационные» (ЭИ) системы компенсируют (в результате адаптации) изменения своего состояния от отдельных «точечных» ЭИ воздействий. Сформулирован принцип системных «энергоинформационных» воздействий, обеспечивающих более высокую эффективность ДНВ.

Исследования в области «информационных воздействий физических полей» на биологические и физические системы, проводимые нами с 1980 г., позволили, в частности, сформулировать гипотезу (1, 2, 3) о существовании и структуре кода фундаментальных информационных взаимодействий (ФИВ) в природе. Настоящая работа посвящена некоторым аргументам в пользу существования ФИВ, интерпретируемых, как некий универсальный способ управления объектами, системами и природными явлениями.

Изучение «информационных воздействий» начали с установления механизмов первичной акцепции и генерализации биологических эффектов электромагнитного излучения крайне высокочастотного диапазона (ЭМИ КВЧ) низкой, «нетепловой» интенсивности. В процессе проведенных в период 1980 – 2001 г. исследований нами были сформулированы некоторые положения концепции управления биологическими системами с помощью ЭМИ КВЧ.

В частности, было установлено, что для получения воспроизводимых, выраженных и статистически значимых медико-биологических эффектов (МБЭ) (в частности, в области экспериментальной онкологии) воздействия

ЭМИ КВЧ (вероятно и для других частот ЭМИ) необходимо соблюдать ряд условий (критериев), выполняемых совместно:

- 1) зависимость ряда реакций биологических систем от параметров воздействия ЭМИ (частота, напряженность, поляризация, когерентность, параметры и тип модуляции и др.);
- 2) кодирование ЭМИ информацией способами, традиционными для радиофизики;
- 3) поддержание обратной связи между объектом воздействия и системой управления параметрами генерации и излучения ЭМИ (адаптивная модуляция);
- 4) учет и коррекция влияния космогеофизических факторов в реальном масштабе времени, в частности вариаций магнитного поля  $(A_p)$  на широте и во время проведения воздействия ЭМИ;
- 5) учет и коррекция влияния физических полей и взаимодействий (в том числе имеющих и биогенную природу), дальнодействующих квантовых корреляций и диссипативных процессов.

Так, было установлено, что определенную роль в проявлениях МБЭ принадлежит созданию объекте воздействия определенного В пространственного распределения напряженности поля ЭМИ. Первичный акт взаимодействия ЭМИ биоструктур может И (процессов) носить энергетический (тепловой) характер. Информационный характер эффектов может проявляться вследствие воздействия биологических трехмерной карты напряженности несформированной волны поглощенного ЭМИ миллиметрового диапазона (КВЧ) на пространственно распределенные поля биологических акцепторов (например, клетки Лангенгарса кожи, поля рецепторов кожи и точек акупунктуры).

На данном этапе исследований, в основном, применяли стандартные генераторы ЭМИ КВЧ (экспериментальные стенды, изготовленные в НПО «Исток», Г4-141), измерители мощности, модуляторы, рупорные и диэлектрические антенны (Рис. 1).



**Рис. 1.** Рупорные и диэлектрические антенны к генератору ЭМИ КВЧ Г4-141. Электромагнитные антенны представлены для сравнения, именно их заменят в «торсионных» исследованиях описанные ниже экспериментальные установки. Сравните с  $Puc.\ 11\ u\ 12$ .

Для оценки эффектов воздействия ЭМИ КВЧ прежде всего применяли известные методы экспериментальной биологии и медицины.

Однако, уже на ранних этапах исследований (с 1987 г) было предположено, что, несмотря на тщательное планирование, в экспериментах проявляются неучтенные факторы неизвестной пока природы. Причем их влияние на результаты экспериментов было зачастую более выражено по сравнению с известными действующими параметрами облучения ЭМИ КВЧ в условиях полного или частичного удовлетворения перечисленных выше условий воспроизводимости, см. выше пп. 1-5.

Следует отметить, что выраженная зависимость эффектов воздействия КВЧ от частоты ЭМИ (при крайне низких уровнях плотности падающей мощности от 10 - 100 нВт/см<sup>2</sup> и выше) на медико-биологические системы до сих пор (по нашему мнению) не получила удовлетворительного объяснения в рамках рассмотрения с точки зрения традиционной радиофизики, что затрудняет внедрение результатов разработок в практику медицины. Не что в данных экспериментах роль основного исключено, воздействия играет вовсе не ЭМИ КВЧ, а неэлектромагнитный компонент воздействия генератора ЭМИ, имеющего лампу обратной волны (в качестве источника ЭМИ) и настраиваемый волноводный тракт. Складывалось впечатление, что настройка генераторов ЭМИ КВЧ велась вовсе не только (и не столько) на частоту ЭМИ, но на собственные частоты некого объемного резонатора в тракте КВЧ, не однозначно связанного с настройкой на определенную частоту именно ЭМИ. Именно такие объемные резонаторы являются одним из классов излучателей «информационных» полей.

Некоторым подтверждением нашей точки зрения может быть исследование (4), посвященное тонко настроенным объемным резонаторам, как генераторам «нетрадиционного излучения», зависящего от материала (элементного состава) стенок резонатора, имеющего волновую природу и распространяющегося на многие километры через скальные породы.

неизвестных, НО эффективно воздействующих неизбежно экспериментов факторов носило поисковый характер, дополненный эвристическим анализом весьма разнородных данных, как собственных, так и полученных другими исследователями. В ряде случаев «сенситивные» применялись биолокационные методы И информации.

Исследования (1987 – 2004 г.) велись в направлениях:

- 1) Выбор и (или) создание рабочих теоретических и феноменологических моделей изучаемых явлений «неизвестной природы». Уточнение методологии проведения экспериментов с такими явлениями.
- 2) Изучение факторов, влияющих на результаты наблюдений и экспериментов по изучению проявлений «неизвестной природы». Поиск артефактов, с учетом специфики проводимых исследований.
- 3) Создание «генераторов» и объективных, приборных «регистраторов» факторов «неизвестной природы». Накопление материала по воздействию «генераторов» на различные объекты и процессы.

протяжении предыдущего столетия получено немало экспериментальных данных, интерпретация которых, по-видимому, признанных затруднена (HO не невозможна!) рамках четырех фундаментальных взаимодействий. Сформулировано несколько десятков концепций, так или иначе, объясняющих полученные результаты, указанные, например, в (5). В качестве теоретической рабочей модели проявлений «неизвестной природы» мы сформулировали оригинальную концепцию телепортации информации (ТИ) посредством информационных полей (ИП), основные положения которой будут сформулированы ниже.

Эмпирические модели, полученные нами из анализа обширного экспериментального материала, связывают ИП со спином (или спиновым «зарядом»), аналогично тому, что гравитационные и электромагнитные поля порождаются (но различным образом!) массой и электрическим зарядом. Последнее утверждение соответствует воззрениям Р.Утиямы, полагавшего, что параметры элементарных частиц могут играть роль зарядов, порождающих соответствующие поля.

На основе созданных нами феноменологических моделей генерации информационных полей спиновым «зарядом» созданы несколько поколений генераторов ИП и излучений (ИИ), разработаны модуляторы ИП и экспериментальные подходы к регистрации. В начале исследований наши представления о механизмах генерации и модуляции ИП в определенной степени были близки к эмпирической концепции «торсионных» полей

А.Е.Акимова (5), сформированной, по-видимому, в значительной степени, под влиянием феноменологии и интуиции А.А.Деева.

А.Е.Акимов вводит «торсионные» поля как поперечную спиновую поляризацию физического вакуума (ΦB), практически без экспериментальных подтверждений, качественно, без либо какого математического аппарата. Впрочем, А.Е.Акимов по поводу своей модели замечает: «Было бы наивно усматривать в построенной модели истинную структуру ФВ. Это означало бы требовать от модели больше, чем на то способна искусственная схема».

В работах Г.И.Шипова торсионные поля вводятся не феноменологически, как у Э. Картана и значительно позже у А.Е.Акимова, а на фундаментальном уровне (6). При этом оказывается, что эти торсионные поля принципиально отличаются от торсионных полей в теории Э.Картана (ТЭК). Если торсионные поля в ТЭК связаны с геометрией Э. Картана, то торсионные поля в теории ФВ (ТФВ) — с геометрией Дж. Риччи. Существуют и другие модели «торсионных» полей и взаимодействий.

Современный (2008) обширный текст (7), посвященный представлениям о «поляризующемся нуль – вакууме» имеет многочисленные инженернофизические аспекты и другие многочисленные прикладные аспекты.

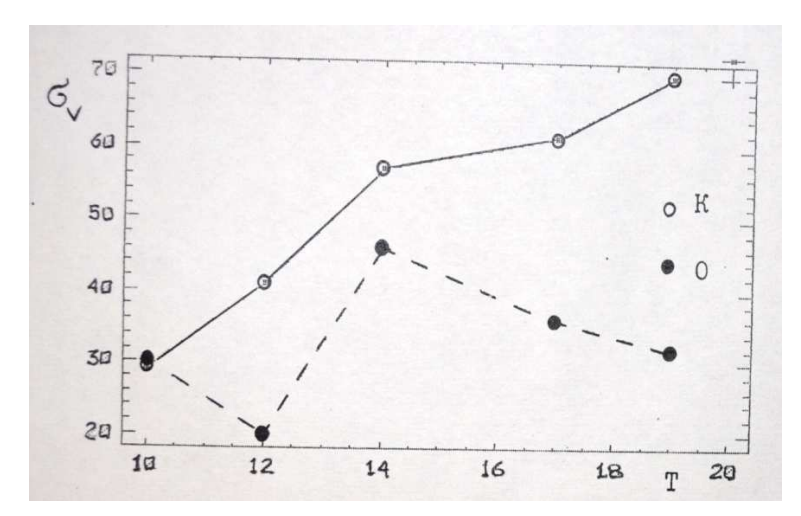
Однако, в 1987 г мы не знали о существовании многочисленных групп, ведущих исследования в аналогичных направлениях и пошли своим путем.

Нас прежде всего интересовали факторы, существенно влияющие на результаты наблюдений и экспериментов по изучению проявлений ИП (проявлений «неизвестной природы»). Эти факторы имеют принципиальное значение как для корректности интерпретации эффектов ИП, так и значительную самостоятельную научно-технологическую ценность. Так же, как и в случае с ЭМИ КВЧ диапазона, необходимо соблюдать ряд условий (критериев), выполняемых совместно (теперь, и совместно с  $nn.\ 1-5$ , для ЭМИ КВЧ), однако, kyda менее очевидных (чем в классических случаях и даже странных, но доказательных), и нуждающихся в несколько расширенном толковании.

## Итак:

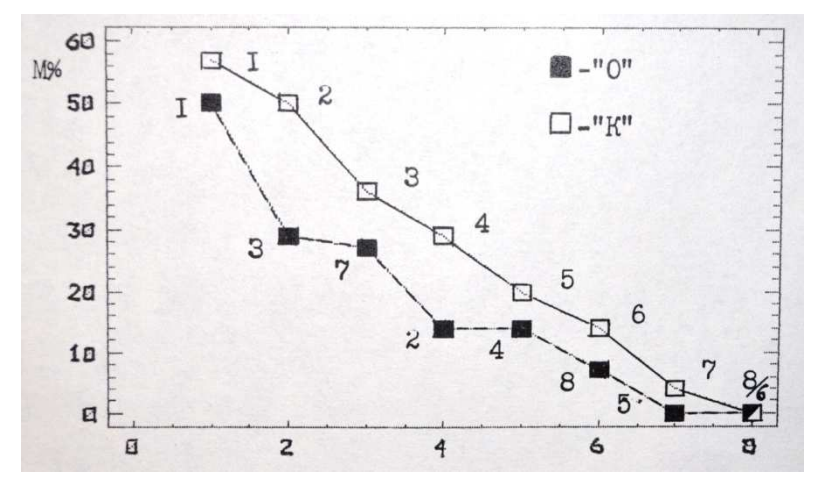
1) Принципиальное значение для самого проявления и форм реализации эффектов ИП и ИИ имеет состояние (в частности, измененное состояние сознания (8, 9)) и содержание сознания, биоэнергетические характеристики как конструктора генератора ИП и ИИ, так и всех участников эксперимента, в частности, лица, планирующего эксперимент (1, 2, 3).

Экспериментатор может влиять на биологические процессы осознанно, применяя известные методики био- и психоэнергетического воздействия. Так, в наших экспериментах изучали влияние операторов на развитие опухолевого процесса, в частности метастазирование. Результаты исследований представлены на Рис. 2 А,Б.



**Рис. 2 А.** Динамика дисперсии первичного узла ВМР (высоко метастазирующего рака). По оси абсцисс — срок после перевивки опухоли в сутках, по оси ординат — дисперсия (ненормированное среднеквадратическое отклонение) размеров первичного узла.

Из Рис. 2 А. обращает на себя внимание, что дисперсия размеров первичного узла ВМР всегда меньше (до 3 раз), при «воздействии» биоэнерготерапевта (А.Ю.) чем в контроле. При этом средние размеры первичного узла в «опытных» и «контрольных» группах практически идентичны.



**Рис. 2 Б.** Распределение метастазов ВМР по различным органам. По оси абсцисс – условный номер органа в порядке убывания среднего числа метастазов в нем. По оси ординат – процент наличия метастазов в данном органе. Номерами от 1 до 8 даны обозначения органов: 1 – лимфоузлы, 2 – легкие, 3 – брыжейка, 4 – надпочечники, 5 – почки, 6 – поджелудочная железа, 7 – яичники, 8 – печень. «О» -группы животных, подвергавшихся воздействию, «К» - контроль (без воздействия).

Ho экспериментатор может выступать невольно как «экстрасенс», объективно (но несознательно, неосознанно, а значит невоспроизводимо) влияющий собственных на результаты экспериментов. Очевидно, что данное влияние серьезно затрудняет экспериментов изучению интерпретацию ПО «информационных воздействий», по крайней мере, при их «стандартной» общепринятой постановке. Что же воздействует на объект, «генератор» или представления экспериментатора (иногда, не вполне осознаваемые), о том, как данный «генератор» действует?

Таким образом, введение надежно установленных явлений парапсихологии и психофизики в научный оборот принципиально противоречит основаниям современной научной парадигмы, основанной, в частности, на независимости результатов экспериментов от того, «что думает о них экспериментатор»

Данная точка зрения развита и в исследованиях Р.Шелдрейка (10, 11), С.В.Сперанского (12, 13) и других.

Таким образом, на основании собственных исследований и анализа данных литературы мы сформулировали гносеологический парадокс психофизических исследований (ГППИ) (3), заключающийся в том, что в рамках последовательного применения методов современной позитивистской науки получены принципиальные результаты, противоречащие ее основаниям.

Очевидна актуальность разрешения данного парадокса, как для включения явлений психофизики в научный оборот, так и для выработки корректных методик изучения и применения приборных (и операторно-приборных) «информационных» воздействий.

2) Одним из путей разрешения ГППИ является последовательное изучение именно информационного характера эффектов воздействия. Несмотря на общепринятое признание информационного характера нетепловых воздействий ЭМИ, эффектов парапсихологии и психофизики, и обширной феноменологии нетривиальных воздействий с участием приборов (реальных или виртуальных), практически не разработан вопрос о специфических способах кодирования и декодировании информации.

По нашему мнению, информационный характер воздействия подразумевает (по крайней мере, в современном понимании понятия «информации») существование кода информационного сообщения. Это принципиальный момент. Выяснение (или конструирование) кодов информационных воздействий КИВ позволит совершить прорыв в области «нетрадиционной феноменологии».

Наши исследования КИВ лежат, в частности, в сфере изучения особенностей организации эксперимента, в частности, подбор исполнителей, кратность «слепых» экспериментов, в особенности тип и характер кодировки экспериментальных групп (групп «контроль» и групп «опыт») (3), создание кода (кодов) и адекватного языка информационных взаимодействий.

Иллюстрацией сказанного являются результаты построения графика (Рис. 3) зависимости среднего размера опухолей (по оси

ординат в см $^3$ ), зашифрованных на одном из этапов целыми числами от 1 до 70. По оси абсцисс отложены так называемые «нумерологические» числа, получаемые сложением целых многозначных чисел до однозначного (например, 13 соответствует 4, 23 – 5, 70 – 7 и т.д.). На рис. 3 в качестве оценки представлено нормированное среднеквадратичное отклонение.

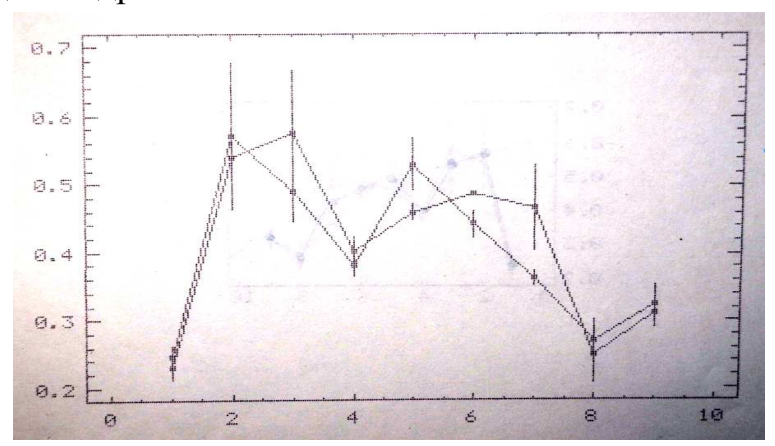


Рис.3. Зависимость размеров опухоли от кодировки экспериментальных животных в «слепых» опытах по дистантному приборному воздействию. В качестве оценки средних объемов опухоли, указано нормированное среднеквадратическое отклонение.

Как видно из рисунка 3, наблюдается один из минимумов в точке «золотого сечения» (точка 4).

Одним из возможных объяснений нашего наблюдения (следуя пункту 1 настоящего обсуждения) является осознанное (или не вполне) формирование одним из участников эксперимента (скорее всего, производящего данный этап кодировки) так называемой «мыслеформы», сходной по свойствам «нумерологическим» числам, но не соответствующей целым числам от 1 до 70. «Мыслеформа» имеет свойства «торсионного» (информационного) «фантома» и может воздействовать на экспериментальные объекты, на что и указывают результаты, приведенные на Рис. 3.

Таким образом, не исключено, что именно «нумерологические» числа являются элементами фундаментального кода информационных взаимодействий (как и «золотое сечение»).

физическим эффектом, которое ЯВНО учитывать при изучении информационных явлений, является эффект «информационных» «фантома». воздействиях, Так, при выключения «генератора» или перемещения его в другую область пространства вне зоны эксперимента, остается область пространства (неподвижная относительно лабораторной системы координат!) и сохраняющая свои свойства (т.е. свойства излучения «генератора») до месяца, а иногда, значительно дольше. Помещение объекта воздействия зону (область) «фантома» аналогично действию «генератора»,

сформировавшего «фантом». Это, безусловно, принципиально новый тип «безэнергетического», информационного воздействия, поскольку, в частности, на поддержание области активного «фантома» не требуется энергии (5). Впрочем, «фантом» может подпитываться энергией ФВ.

В качестве «генератора фантомов» может выступать практически любой процесс с переносом массы или энергии (и вероятно, информации), в том числе, процессы жизнедеятельности и мышления. По-видимому, большинство предметов и явлений имеют своего «энерго-информационного» двойника, и след в виде некого аналога «мировой линии».

Очевидна важность прикладных аспектов изучения «фантомов», в частности, для связи на новых физических принципах, считывания информации, поиска людей и мн. др.

Как следует из результатов наших исследований, в некоторых видах приборных дистантных адресных воздействий происходит именно телепортация «фантома» объекта или процесса в данную точку пространства-времени (2).

В случае воздействия оператора (или, точнее, при операторноприборном воздействии) он также посылает свой динамический «фантом» в определенную точку пространства-времени, в условиях постоянного обмена информацией с ним и объектом воздействия.

И здесь «торсионная» феноменология тесно смыкается с явлениями «био- и психоэнергетических» феноменов.

По видимому, оператор и (или) наблюдатель, участник эксперимента (сознательно и (или) неосознанно) актуализирует некоторые физические свойства «фантома», в этом смысле «фантом-эффект» является истинно психофизическим (без кавычек) явлением.

Можно предположить, что за «фантом-эффектом» стоят новые, мало изученные физические явления, так он не получает удовлетворительных объяснений в рамках традиционных представлений.

Динамический «фантом» человека, неразделимо сочетающий в себе материю и сознание, в начале XX века был удачно (на наш взгляд) назван «призраком живых».

4) Эффект матрицы, в котором на объект воздействуют «торсионным» (информационным) излучением, пропущенным (и/или взаимодействовавшим) через «матрицу», содержащую определенное вещество (вещества) (14) или процесс(ы) (А.А.Деев). Хотя «способ коррекции наследственных признаков биологических объектов» с использованием эффекта матрицы, был запатентован, на основании солидного цикла исследований, в 1998 г., он предполагался по крайней мере с 40х годов XX века (в открытом популярном изложении), причем

в наиболее интересном, психофизическом варианте, с передачей как эмоционального состояния, так и конкретной информации. В качестве «матрицы» и «адреса» подразумевалось использование состояние мозга людей (24). Существует и ряд зарубежных патентов, использующих по существу «матричные» принципы.

Важно, что вполне аналогичный «матричному» эффект существует и при пропускании ЭМИ (в частности, ЭМИ КВЧ) через слой определенного вещества или при воздействии на биологические объекты (сопровождается выходом информационного «фантома»).

5) Следующий эффект пока не имеет общепринятого названия, в качестве рабочего примем: «эффект влияния взаимного расположения веществ и смесей». В качестве примера простейшей тест-системы приведем наше исследование изменения формы распределения свойств растворов человеческого сывороточного альбумина (ЧСА) в растворе Хенкса в 10n (в экспериментах п варьировали от 1 до 5) стандартных пробирках, размещенных линейно в типичном лабораторном штативе в один или несколько рядов.

Измеряли длину волны и максимум спектра флуоресценции эндогенных триптофанилов (ЭТ) ЧСА в каждой из пробирок, как сразу после разлива из объема маточного раствора, так и через определенное время.

Было обнаружено, что распределение длины волны и максимума спектра флуоресценции ЧСА в зависимости от номера пробирки в ряду носило практически характер равномерного (в дальнейшем, данное утверждение будет уточнено, см. п.б), что мы и ожидали. Тогда как аналогичные измерения через определенный интервал времени (до 3 часов) демонстрировали воспроизводимое изменение формы распределения интенсивности флуоресценции в зависимости от порядка расположения пробирки (Рис. 4 А).

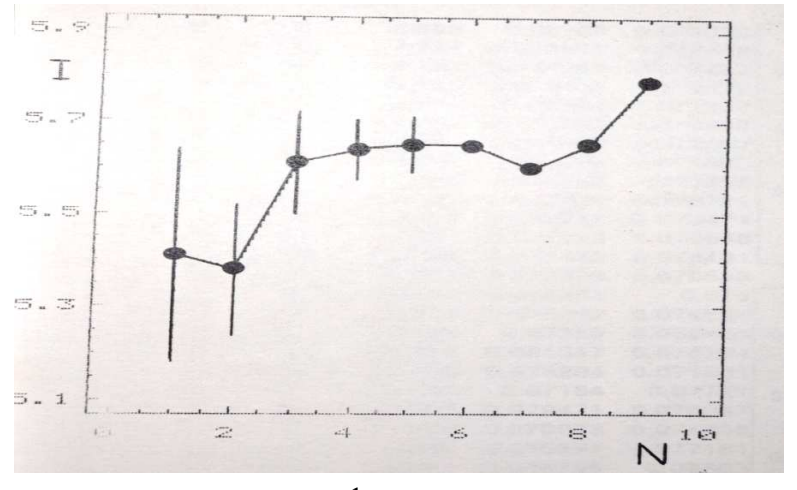


Рис.4 А. Воспроизводимое изменение формы распределения интенсивности флуоресценции (I) от порядка расположения пробирки в штативе без воздействия «торсионного» генератора. По оси абсцисс – порядок расположения пробирки в штативе

(N), по оси ординат – интенсивность флуоресценции (I) ЭТ ЧСА. В качестве оценки средних значений I указано нормированное среднеквадратическое отклонение.

Были проведены оценки физической сущности обнаруженного эффекта на различных моделях. Мы предполагаем, что определенную роль в его реализации играют обнаруженные А.Г.Пархомовым (15) Нволновые процессы (термин автора (15)).

Несколько аналогичные по смыслу результаты, но на других моделях получены в работах (16).

Таким образом, пробирки с растворами взаимодействуют между без всяких «генераторов» собой, В условиях самой обычной лабораторной ситуации. Вероятно, между содержимым пробирок осуществляется перенос информации, который может модифицирован (и практически использован), в частности, только изменением расположения элементов (обладающих формой) и их составом.

В проведенных нами далее экспериментах было установлено, что воздействии излучением «торсионного» (информационного) генератора одновременно все элементы, на принципиально меняется характер распределения свойств совокупности взаимодействующих объектов. Результаты экспериментов представлены на рис. 4 Б.

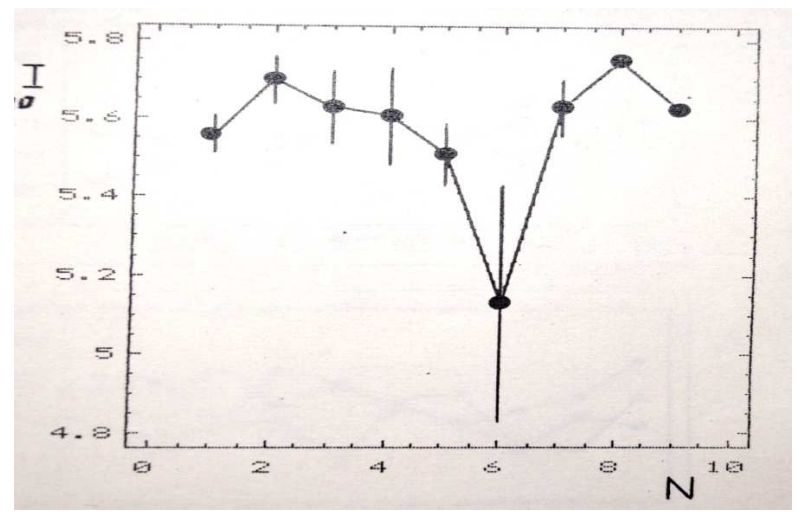


Рис. 4 Б. Воспроизводимое изменение формы распределения интенсивности флуоресценции (I) от порядка расположения пробирки в штативе под воздействия «торсионного» генератора статического поля («поля формы»). По оси абсцисс – порядок расположения пробирки в штативе (N), по оси ординат – интенсивность флуоресценции (I) ЭТ ЧСА. В качестве оценки средних значений I то же, что на Рис. 4 А.

Данный вывод имеет принципиально важное значение для отработки методологии и методической чистоты экспериментов с «информационными» воздействиями, да и в широкой практике лабораторных исследований. Так (если не принять специальных мер)

локальное или дистантное «информационное» или даже «классическое» воздействие на один из элементов (например, одну из пробирок) приведет к воздействию на всю систему в целом.

Не менее важно, что приведенные выше обстоятельства явно требуют уточнения одного из фундаментальных принципов обработки экспериментальных данных — статистической независимости результатов наблюдений. Как мы показали — принцип нарушается. Данное обстоятельство может поставить под сомнение корректность статистических выводов многих традиционных исследований.

6) Накопились свидетельства того, что и результаты последовательных измерений состояния одного объекта (например, раствора макромолекул) могут не являться статистически независимыми.

И в данном направлении мы производили поиск адекватных физических систем для изучения действия слабых (и пока не идентифицированных) физических полей и факторов на биологические объекты. Изучали поляризацию флуоресценции водных растворов триптофана, ЧСА и хинальдиновой кислоты, и поляризацию света, рассеянного на стенках пустой кварцевой спектрофотометрической кюветы. Образцы подвергались воздействию постоянного магнитного поля ПМП и вращающегося магнитного поля ВМП. Действие полей на образцы оценивали с помощью коэффициента поляризации флуоресценции Р, измеряемого через 1 – 3 минуты.

В колебаниях Р выявлен воспроизводимый терм из 10 значений во всех экспериментах с водными растворами. На рис. 5 представлен пример терма.

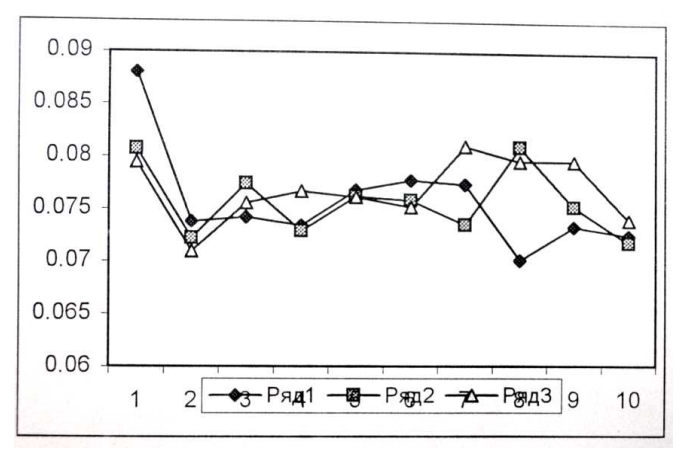


Рис. 5. Пример терма. Представлены три последовательных измерения. По оси абсцисс – последовательность измерения от 1 до 10. По оси ординат - коэффициент поляризации флуоресценции Р.

Наблюдаются индивидуальные различия терма для различных веществ при сохранении его общей структуры. Установлено: 1) Первая точка терма всегда является начальной точкой регистрации колебаний Р при

вариации таких факторов, как астрономическое время начала измерений, время подготовки флуориметра и реактивов к измерениям, срок использования приготовленных растворов (до нескольких суток). 2) t<sub>c</sub> (время корреляции) терма колебаний P на несколько порядков больше, чем известные времена конформационных перестроек молекул в растворе. 3) Наличие терма наблюдается на разных длинах волн возбуждения и испускания флуоресценции и для всех изученных веществ.

Интенсивность и поляризация света, рассеянного на стенках пустой кюветы также имеет нестационарную компоненту. ВМП имеет более выраженное влияние на поляризацию света, чем ПМП. ВМП на порядок увеличивает время корреляции колебаний Р, по сравнению с «контролем» без поля (19).

Нами обнаружена и охарактеризована своего рода «зеркальная симметрия» спектральной плотности частот колебаний максимумов спектров флуоресценции W(t), например, в свойствах двух временных рядов W(t) сформированных из каждого i и i+1 измерения W(t), где i=1 есть первое измерение в данном эксперименте.

Сравнительный анализ авторегрессионных (AP) моделей показывает (для использованных критериев) достоверные отличия рядов  $W_i(t)$  и  $W_{i+1}(t)$  друг от друга. Более того, показано, что ряд, составленный из последовательно взятых і измерений, стационарен, а из і + 1, нестационарен. Симметрия наблюдается: как в случаях отбора аликвот из нескольких колб (от 2 до 6), из рядов пробирок, из одной маточным раствором. Дальнейшие вариации экспериментов привели нас к парадоксальному предположению: факт номером временных рядов определяется симметрии измерения (20).

Статистическая зависимость результатов последовательных измерений проявляется и в детерминированном характере (17) макроскопических флуктуаций (МФ), обнаруженных еще в конце 50х годов XX века (18). Высказано предположение, что МФ связаны с низко диссипативными динамическими процессами (B частности макромолекулах), которых механизм заключается детерминированной эволюции ядерно-спиновой подсистемы (17). Предполагается высокая чувствительность МФ к слабым внешним воздействиям благодаря свойствам фазированных осцилляторов: при слабом возмущении их частот изменяются относительные фазы до заметных значений (17).

Нами обнаружена ранее неизвестная закономерность обмена информацией между животными с перевивными опухолями (ПО) и интактными животными в условиях типичного биологического эксперимента. Установлено, что средняя продолжительность жизни (СПЖ) и темп роста опухолей зависят от соотношения числа животных

с ПО и интактных, содержащихся совместно в ванночках (по 10) животных в стандартных условиях вивария в течении всего эксперимента, до гибели последнего животного с ПО. Использовали мышей линий CBWA и CBA (самки), опухолевый штамм: саркома - 37.

Проведена серия четырех экспериментов, в каждом из которых брали 100 мышей, размещенных по 10 животных в 10 клетках, соответствующих 10 «экспериментальным» группам. Первая группа включала одну мышь с ПО и 9 интактных. Вторая группа — две мыши с ПО и 8 интактных. И так далее, до группы, содержащих 10 животных с ПО. На рис. представлена усредненная по всем экспериментам зависимость отношения  $K = C\Pi \mathcal{K}_N/C\Pi \mathcal{K}_{10}$  от числа мышей с  $\Pi O(N)$  в группе из 10 мышей. Результаты на Рис. 6.

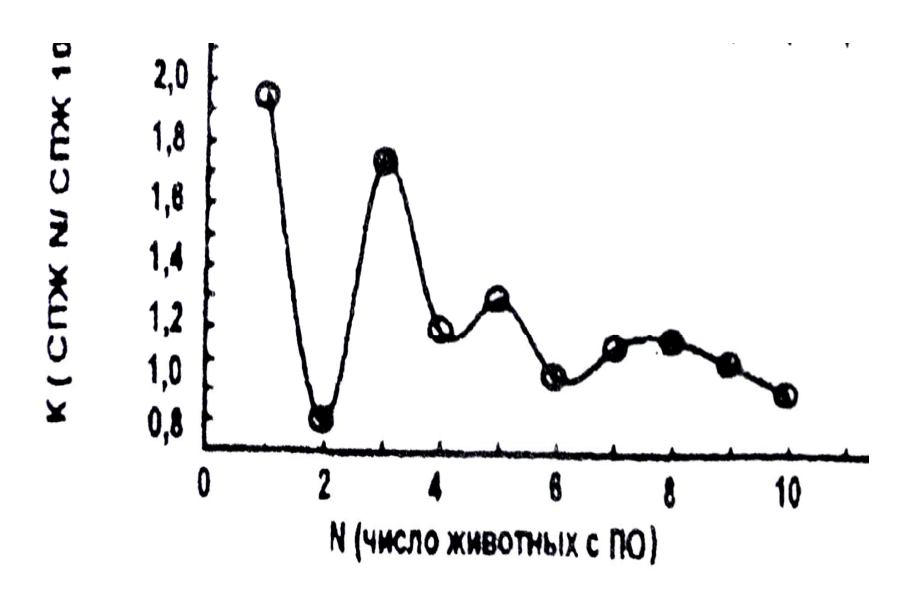


Рис. 6. «Раститровка» животными опухоленосителями интактных животных. По оси абсцисс - число мышей с  $\Pi O(N)$  в группе из 10 мышей. По оси ординат - усредненная по всем экспериментам зависимость отношения  $K = C\Pi KN/C\Pi K10$ . Пояснения в тексте.

Как можно видеть из Рис.6, наблюдается асимптотическое приближение значений СПЖ для четного числа мышей с ПО – «снизу», для нечетных, «сверху» к среднему (по всем опытам) значению СПЖ. Поэтому мы назвали обнаруженные закономерности «эффект четности» (21).

7) Мы исследовали физические поля, сопровождающих смерть экспериментальных животных. В ходе экспериментов была разработана шкала относительных единиц «амплитуды» и «частоты» «поля, сопровождающего смерть»  $F_{\rm M}$ , физическая природа которого нами пока не идентифицирована.

В результате экспериментов, проведенных более чем на 800 животных, установлен ряд закономерностей проявления  $F_M$ , в частности, в момент забоя интактного животного «амплитуда»  $F_M(t)$  достигает максимального значения и через 1-2 минуты начинает спадать по экспоненциальному закону, окончательно затухая через 4-6 минут (в 10% случаев затем возникают вторичные пики  $F_M(t)$ ). Ход  $F_M(t)$  достоверно различается для мышей различных генетических линий, что позволяет допустить существование генетического контроля  $F_M$ . Для одной линии мышей  $F_M(t)$  практически не зависит от возраста животных.

Острый стресс, предшествующий забою животных, достоверно снижает амплитуду  $F_M(t)$ . И напротив, облучение ЭМИ КВЧ, воздействие «торсионных» (информационных) генераторов и некоторые виды биоэнергетического (и психоэнергетического) воздействия — увеличивают ее в несколько раз (по крайней мере, при изученных параметрах воздействия) (22).

В ряде экспериментов животных перед забоем помещали в (психоэнергетический) экран заданными свойствами не допустить выхода F<sub>м</sub>. Удалось добиться как задержки выхода  $F_M$ , так и пересадки его в живое животное. Последние наблюдения открывают возможности исследования приборного «постмортального» сопровождения «энергоинформационного» комплекса, с целью обмена информацией и помощи, в случае необходимости.

8) Перечень явлений, важных как для построения теории информационных полей, так и для обеспечения чистоты экспериментов, можно значительно расширить.

Отметим важные исследования геофизических проявлений эффекта макроскопической нелокальности (МН), рассматривающие МН физический эффект, заключающийся В корреляции любых диссипативных процессов без посредства локальных носителей взаимодействия (23).

Несомненна перспективность экспериментальных исследований (15), посвященных гипотетическому Н-излучению (автор исследований связывает Н-излучение с ультрахолодными нейтрино или с проявлениями «темной материи»).

Источником «необычных» воздействий и соответствующих эффектов могут выступать деградирующие биологические (особенно, ткани мозга), электронные и механические системы, что использовали для усиления «экстрасенсорных» эффектов у оператора — человека.

9) Разумеется, необходимо было учитывать и многие другие особенности распространения, фокусировки и экранирования ИП и ИИ, изученные в специальных сериях экспериментов.

Первые генераторы торсионных излучений А.Е.Акимова и сотр., разработанные еще в 1980 г., были запатентованы с приоритетом от 29 марта 1990 г. Наши же исследования ЭМИ КВЧ также начались в 1980 г., а первая серия генераторов ИП и ИИ (для локального воздействия, на расстояние до нескольких метров) с возбуждением ИП и ИИ ЭМИ КВЧ создана в 1987 г. Было создано 4 поколения генераторов серии «Ключ».

В частности, генераторы для *покального* воздействия, с применением преобразования ЭМИ КВЧ в «торсионное» (информационное) излучение, использующие резонансно-матричный принцип преобразования, представлены на Рис.7. В качестве источника ЭМИ КВЧ применяли диод Ганна.

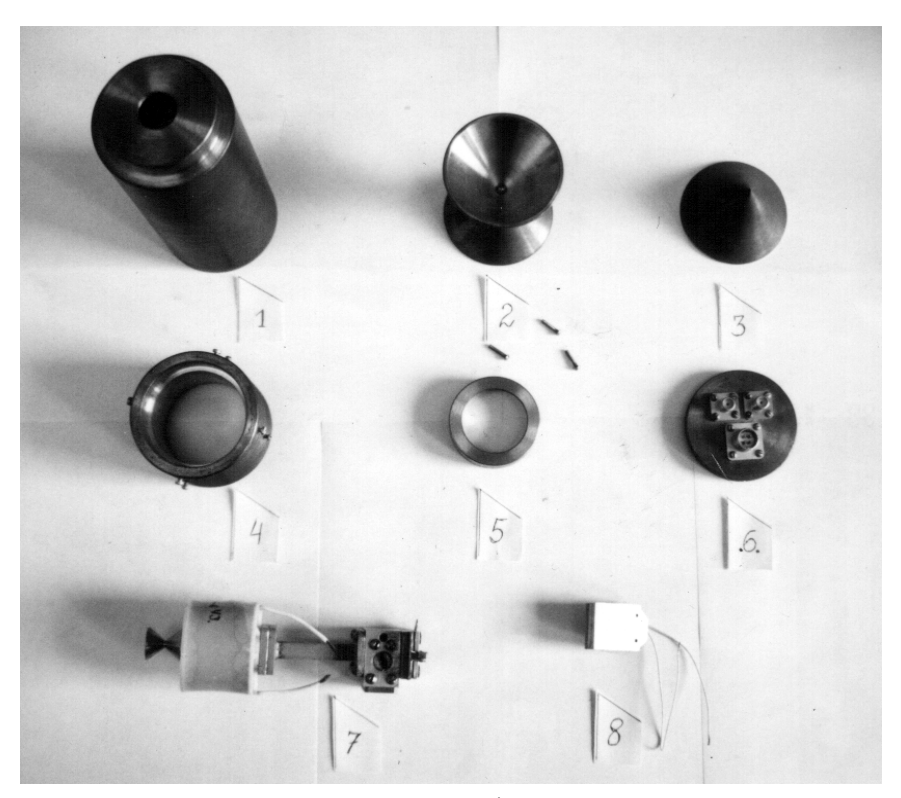


Рис.7. Внутренне устройств «торсионного» (информационного) генератора на КВЧ диоде Ганна.

Было разработано несколько поколений «торсионных» информационных генераторов на различных физических принципах. Для возбуждения «торсионного» (информационного) излучения или поля применяли лазеры различного спектрального диапазона (от лазерных указок и Не — Ne лазеров до импульсного азотного ЛГИ-21). С этой же целью использовали переходные процессы в различных спин-упорядоченных средах, в частности, с использованием условий ЯМР и ЭПР. Разработали

несколько вариантов «торсионных» генераторов статического поля, создаваемых «формой».

Разработаны многочастотные генераторы (8 - 64 частоты одновременно). Практически использовали 3 биологически активные частоты «ТИ», переключаемые по специальной программе.

В частности, комбинированный генератор локального воздействия серии «Ключ» для биофизических и медико-биологических исследований в локальном режиме «ТИ» и «ТП» представлен на Рис.8. Генератор обладал возможностью мониторинга процессов в растворах, средах и суспензиях клеток in vitro в реальном масштабе времени с помощью интегрированного в экспериментальный стенд спектрофлуориметра.



Рис. 8. Генератор локального «торсионного» (информационного) воздействия серии «Ключ» для медико-биологических исследований в локальном режиме представлен на Рис.8. Генератор сочетал в себе возможность формировать волновое «торсионное» (информационное) излучение, возбуждаемое ЛОВ КВЧ Г – 141 в комбинации со статическим «торсионным» полем, создаваемым «формой».

С использованием генераторов локального (от нескольких сантиметров до метров) воздействия были получены данные о характере воздействия «ТИ» и «ТП» на различные объекты от воды, водных растворов низкомолекулярных веществ, растворов макромолекул (белки, ДНК), опухолевых и нормальных клеток в культуре in vitro (влияние на мембраны клеток, клеточный цикл, цитологические критерии), животных (мышей) интактных и с перевивными опухолями (в основном, на опухолевый процесс).

Изучены некоторые аспекты поведенческих реакций животных (мышей) при воздействии «ТИ» локально (совместно со специализированной лабораторией НИИ ЭДиТО РОНЦ РАМН).

Отмечена возможность значительного улучшения свойств различных продуктов питания при воздействии «ТИ» (совместно с Институтом питания Республики Корея).

Основные результаты в данных направлениях будут представлены в отдельных публикациях. Здесь, в качестве примера, отметим влияние «ТИ», создаваемого генератором, изображенным на Рис. 8. при возбуждении «ТИ» ЭМИ КВЧ на частоте 42,ХХ ГГц на структуру воды 2 МОм/см (по участку спектра комбинационного рассеивания) (Рис.9а) и конформацию белка ЧСА (с использованием флуоресцентных зондов) (Рис. 9б).

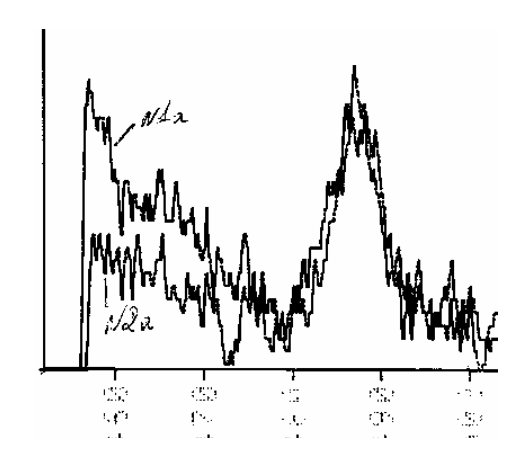


Рис. 9а. Длина волны возбуждения Раман-спектра воды составляет 450 нм (по оси абсцисс). По оси ординат интенсивность рассеянного света в отн. ед. На спектре показаны области, относящиеся к «тяжелым» (неидентифицированным взаимодействиям молекул воды) кластерам (слева).

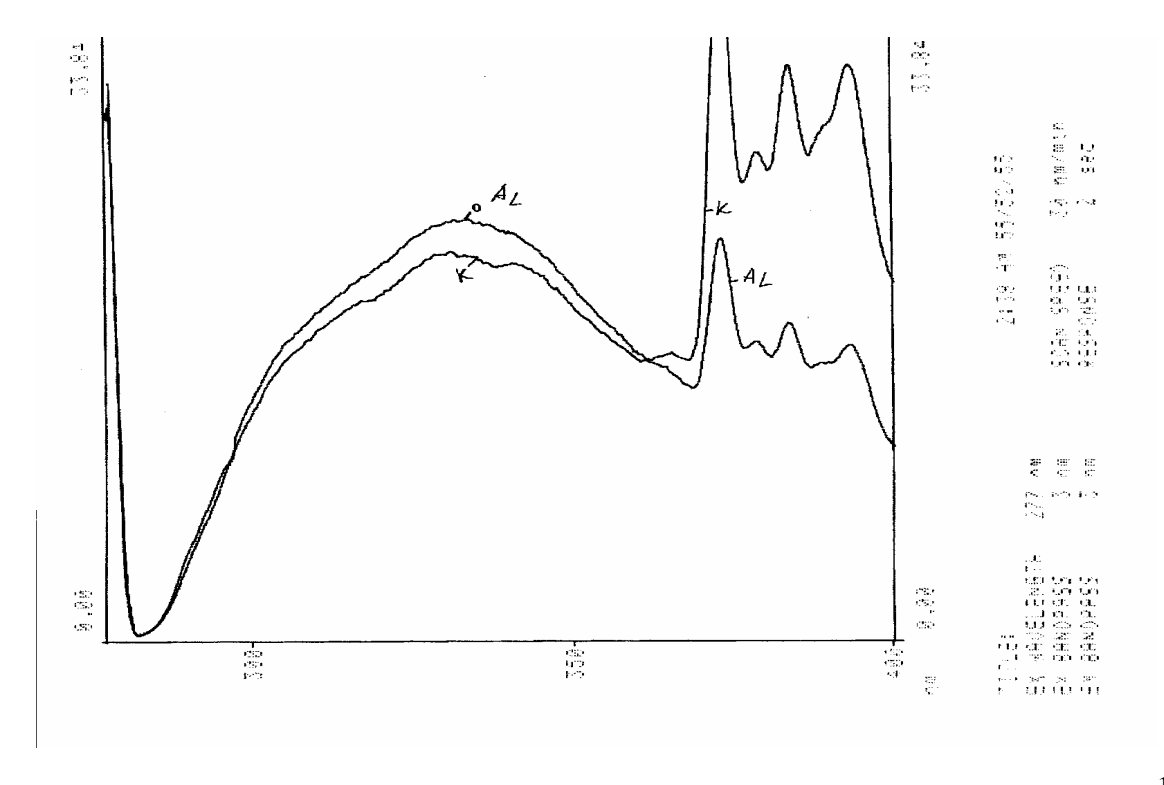


Рис. 9б. Типичный спектр флуоресценции пирена в водном растворе ЧСА при воздействии «ТИ». В качестве тест-системы используем водный раствор человеческого сывороточного альбумина (ЧСА, порядка 10-5М) с добавлением флуоресцентного зонда пирена в концентрации 10-6М. Параметры спектра флуоресценции пирена указаны на рисунке.

Как видно из рисунка, облучение (генератор «Ключ – Т 1.2») существенно изменяет конформацию белковой глобулы (как и изменяет гидрофобность) ЧСА, на что указывают существенные изменения флуоресценции как эксимеров (слева на спектре), так и мономеров зонда пирена (справа).

Нами были разработаны несколько поколений регистраторов, приемников «торсионного» (информационного) излучения. Аналогичные устройства (приемники) использовали для объективизации и изучения влияния экстрасенсов и изучения различных аномальных явлений (в частности, в аномальных зонах Республики Корея).

Разработаны специальные программы цифровой обработки сигналов, в частности, широкополосных шумоподобных сигналов. Особенностью нашего подхода к регистрации является использование нескольких (от 2-3) идентичных датчиков с параллельной регистрацией и обработкой сигналов.

Шумоподобные вариации токов, в частности, в полупроводниковых переходах, рассматриваются нами как сигналы, кодированные определенной информацией (при различных информационных воздействиях), поддающиеся дешифровке.

На Рис. 10 показано промежуточное поколение датчиков на основе 3 полупроводниковых генераторов шума с использованием компараторов, применяющихся *для регистрации совместно*.

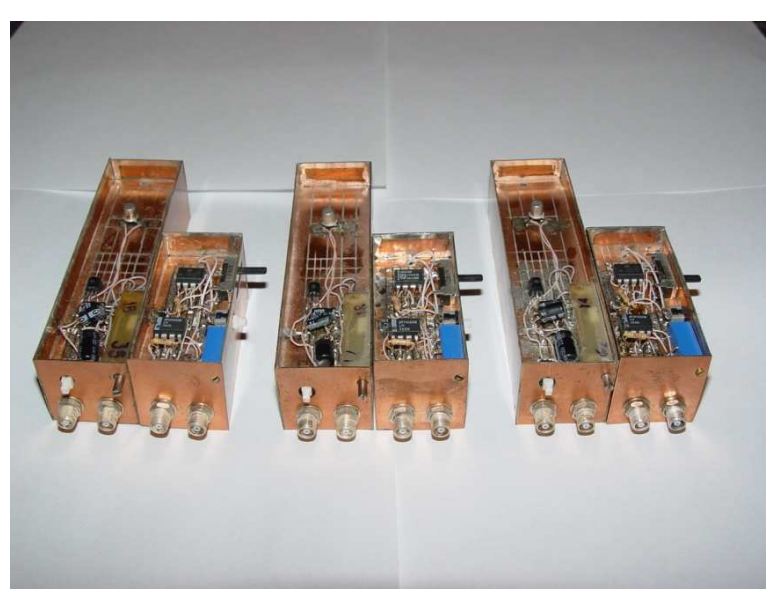


Рис. 10. Приемники «ТИ» и экстрасенсорного воздействия, с тонкой регулировкой тока через полупроводниковый переход генераторного диода 2Г401Б и возможностью компарации сигнала.

В то же время, главной нашей целью было создание генераторов «ИП» и «ИИ» для дистантных (возможно, более уместен термин – дистанционных или *нелокальных*) воздействий (в нашей терминологии – телепортация информации), на значительных расстояниях (до тысяч км) без явного задания

пространственно — временных координат объекта. Первыми экспериментальными образцами с возбуждением ИП и ИИ ЭМИ КВЧ диапазона серии «Ключ — Т», был приборы, показанные на Рис.11. и Рис.12.

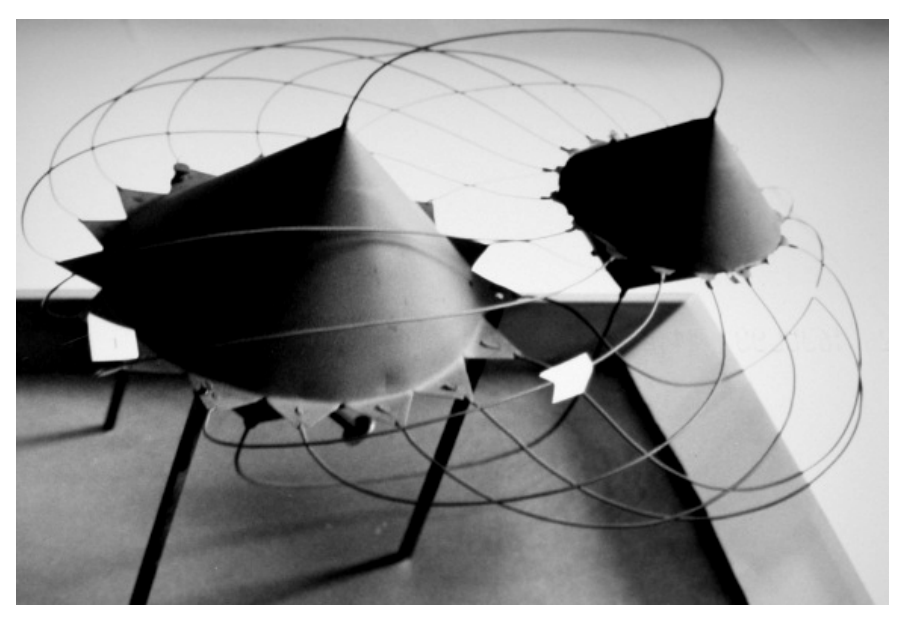


Рис. 11. Первый вариант «телепортера» (1987 г.). Внизу большого (левого) резонатора виден вход волновода ЭМИ КВЧ.

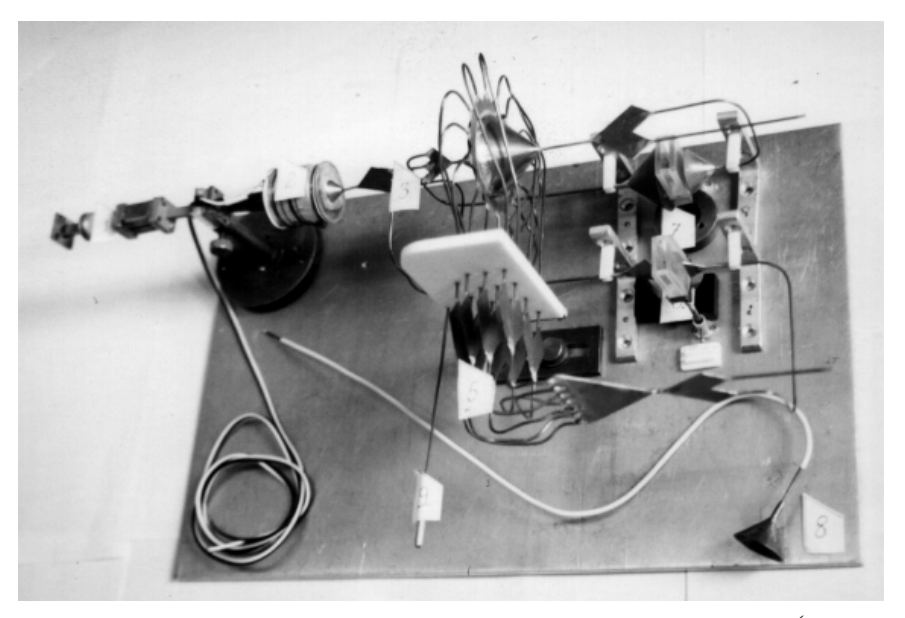


Рис. 12. «Телепортер» с возможность локального и нелокального (дистантного) воздействия (2002 г.). Слева виден вход волновода возбуждающего «ТИ» ЭМИ КВЧ.

В результате эвристического анализа феноменологии и многолетних экспериментов по исследованию феноменологии телепортации информации (ТИ) и из теоретических представлений о механизмах адресного переноса информации (АПИ) в биологических и биофизических исследованиях следует, в частности, возможность АПИ между материальным объектом и его фото (голо-) графическим изображением.

линейных мышей качестве тест-систем МЫ использовали перевивными опухолями, темп роста опухолей среднюю продолжительность жизни (СПЖ), рассматривали в качестве критериев воздействия, в результате ТИ. В экспериментах использовали мышей линий CBWA и CBA (самки, весом 22 – 24 г.) с перевитой подкожно на спинку опухолью саркома – 37 (штамм, адаптированный к жизнедеятельности іп vitro, поддерживаемый в асцитной форме). На стадии роста опухоли, когда узел первичный пальпировался, всех животных уже cопухолями фотографировали, формировали группы «ОПЫТ» «контроль» использованием процедуры рандомизации. Затем, проявляли отснятые пленки, негативы отдельных животных отрезали друг от друга. Таким образом, каждой мыши соответствовал отдельный, единичный негатив, хранящийся в отдельном конверте.

При фотографировании и воздействии, в ряде случаев, использовали некоторые «ноу-хау», частоты и режимы, которые в данной публикации не раскрываются.

Животных содержали в стандартных условиях и на обычном рационе вивария. Мыши, относящиеся к группам «опыт» и «контроль», содержали вместе в ванночках по 10 животных.

Экспериментальные группы и отдельные животные кодировались. Измерения роста опухолей производили, используя метод двойного (или многократного) слепого контроля. Декодировка производилась только после прекращения эксперимента. Коды или отдельные элементы кода хранились у участников экспериментов и не раскрывались другим участникам до прекращения эксперимента.

В ряде экспериментов применялась двойная (или многократная) перекодировка. Например, сначала каждому экспериментальному животному присваивался какой-либо символ (из определенного набора — тезауруса) символ 1, а затем, символу 1 ставился в соответствие символ 2, 3, ..., случайно или по определенной методике.

Воздействие на животных осуществлялось опосредованно путем помещения соответствующего животному негатива (без конверта) в активную зону «телепортера». Варьировали число негативов в активной зоне (от 1 до 72), свойства информационной матрицы, частоту, амплитуду и тип модуляции возбуждающего ЭМИ КВЧ.

В качестве экспресс-теста регистрировали ректальную температуру у мышей экспериментальных групп ежесуточно в течении эксперимента. В «контрольной» группе было 13 животных, в «опытной» - 14. Воздействовали одновременно на стопку из 14 негативов «опытных» животных. Не использовали информационную матрицу. Активная зона «телепортера» возбуждалась ЭМИ КВЧ в определенном режиме модуляции. Результаты измерений ректальной температуры представлены на Рис. 13.

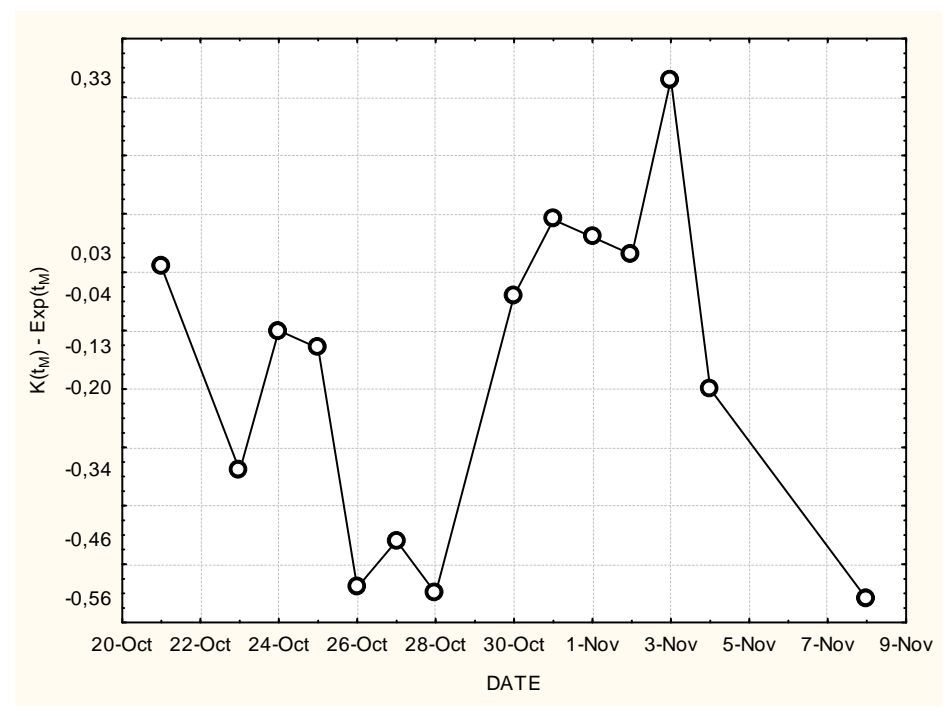


Рис.13. Влияние дистантного воздействия на ректальную температуру мышей с опухолями. По оси абсцисс – даты (DATE). По оси ординат разность между средними значениями ректальной температуры в «контрольной» (K(tm))и «опытной» (Exp(tm)) групп. Воздействие производили 29 октября и 3 ноября. Длительность сеанса составляла 1 час.

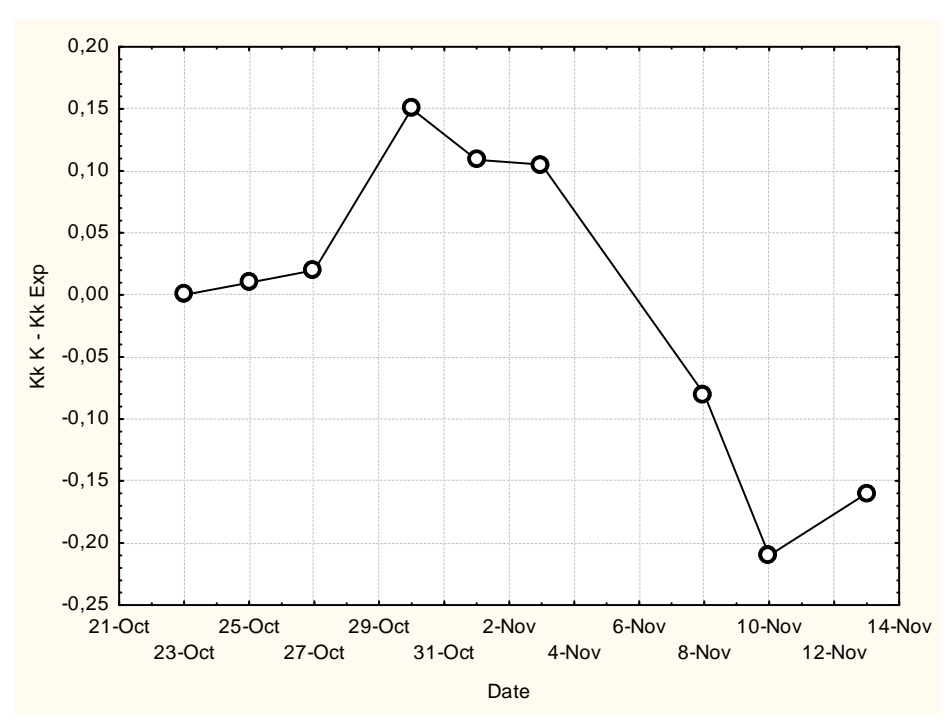


Рис.14. Разница в коррелированности роста опухолей экспериментальных групп «контроль» и «опыт» (Кk K – Kk Exp) на различные сутки (указаны i+1сутки).

Как видно из рис. 13, наблюдается явная тенденция к росту разности  $K(t_m)$  -  $Exp(t_m)$  в сроки коррелированные с воздействием. Ректальная

температура у мышей с перевитыми опухолями, подвергнутых дистантному воздействию имеет тенденцию к снижению.

В том же эксперименте, измеряли размер опухолей на различные сроки (сутки - i) после перевивки и рассчитывали коэффициенты линейной корреляции между размерами опухолей на каждые i и i+1 сутки для одних и тех же животных. Результаты измерений представлены на Рис.14.

Как видно из рисунка 14, имеется тенденция к снижению коррелированности роста опухолей в группе «опыт» в течении нескольких суток после воздействия. Следует отметить, что в «опытной» группе 2 опухоли у двух мышей не измеряли, вследствие развившегося выраженного воспалительного процесса в области перевивки на следующие сутки после воздействия.

В следующих экспериментах оценивали возможность дистантного влияния на темп роста опухоли. В экспериментальных группах «контроль» и «опыт» было по 34 - 35 животных. Соответствующие «опытные» негативы помещали стопкой в активную зону «телепортера». Bce («контрольные» и «опытные») хранили до первого воздействия единой стопкой, соблюдая присвоенный порядок нумерации и кодирования. Для подготовки воздействию формировали две стопки негативов («контрольные» и «опытные»). С первого сеанса воздействия и до окончания эксперимента стопки негативов, естественно, хранили раздельно.

Динамики роста опухолей представлены на Рис.15.

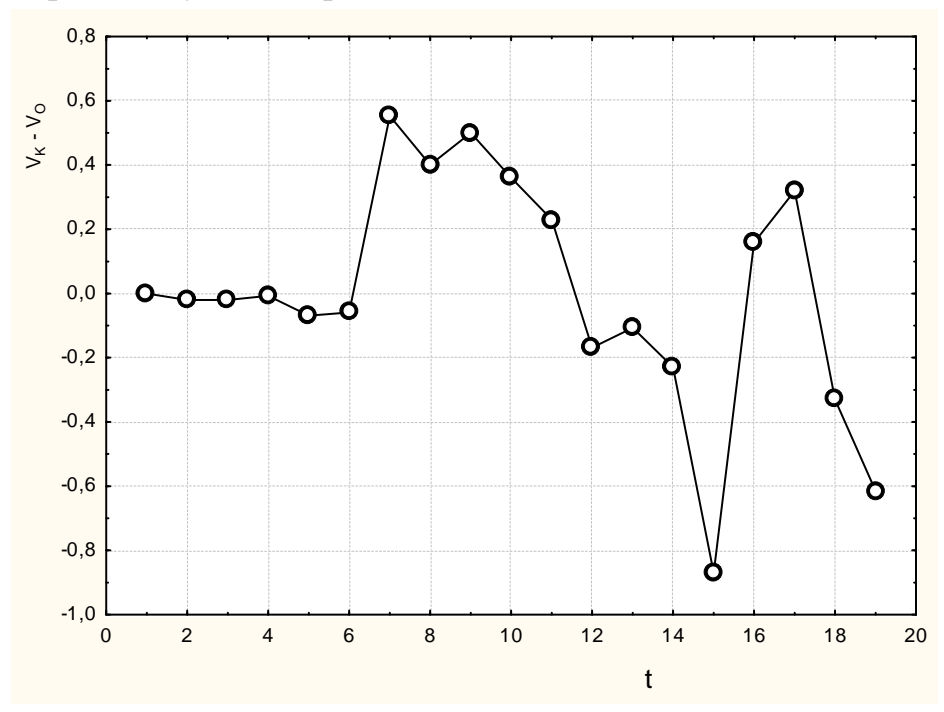


Рис.15. Динамика роста опухолей в условиях дистантного воздействия. По оси абсцисс – сутки после перевивки опухолей (t). По оси ординат – Разность между средним объемом опухолей между «контрольными» и «опытными» группами (Vk – Vo). В качестве информационной матрицы (ИМ) применяли переживающую культуру саркомы – 37 in vitro (воздействие на 5 - 6 сутки пользовали после перевивки опухоли животным). На 14 -

15 сутки использовали раствор циклофосфана 10-5 М в качестве ИМ. Длительность одного сеанса воздействия составляла 3 часа.

Из рисунка 15 видно, что имеется выраженная тенденция к коррелированности снижения темпа роста опухолей у «опытной» группы животных, по сравнению с «контрольной» с периодами воздействия ИМ. Можно отметить тенденцию к противоопухолевому эффекту дистантного воздействия.

Стоит отметить, что, совместное хранение негативов в стопке до разделения на две экспериментальных группы сопровождается закономерным распределением размеров опухолей у соответствующих негативам экспериментальных животных. Последнее обстоятельство иллюстрируется Рис.16.

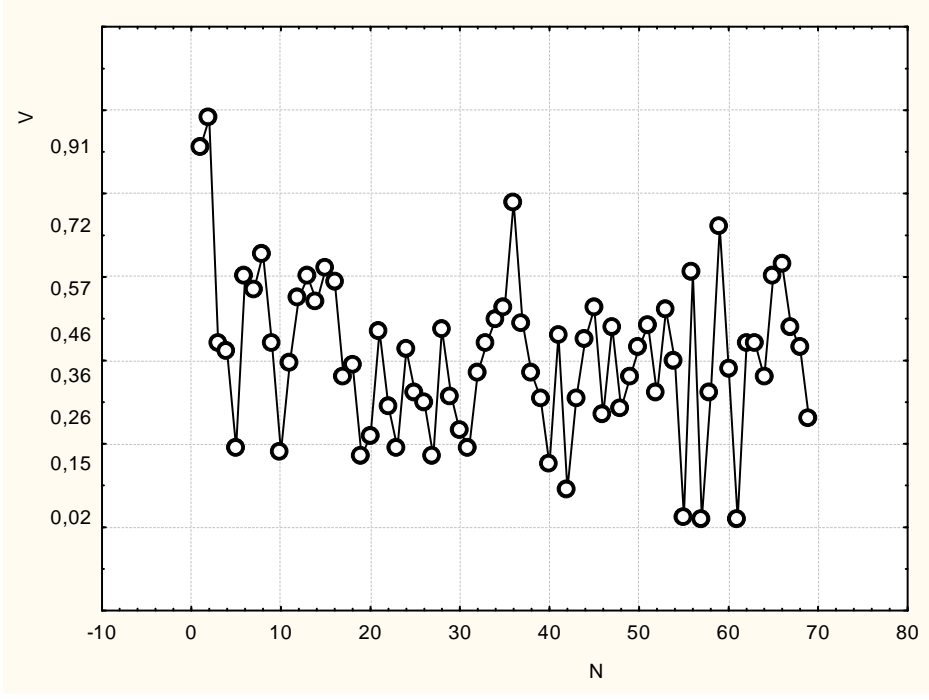


Рис.16. Размер опухоли у животных (V) в см $^3$  в зависимости от порядкового номера расположения соответствующего негатива в стопке (N) до разделения на экспериментальные группы «контроль» и «опыт».

Закономерный характер распределения V(N) явно проявляется в динамике роста опухолей в экспериментальной группе «опыт», подвергнутой воздействию в активной зоне «телепортера» (Рис.17).

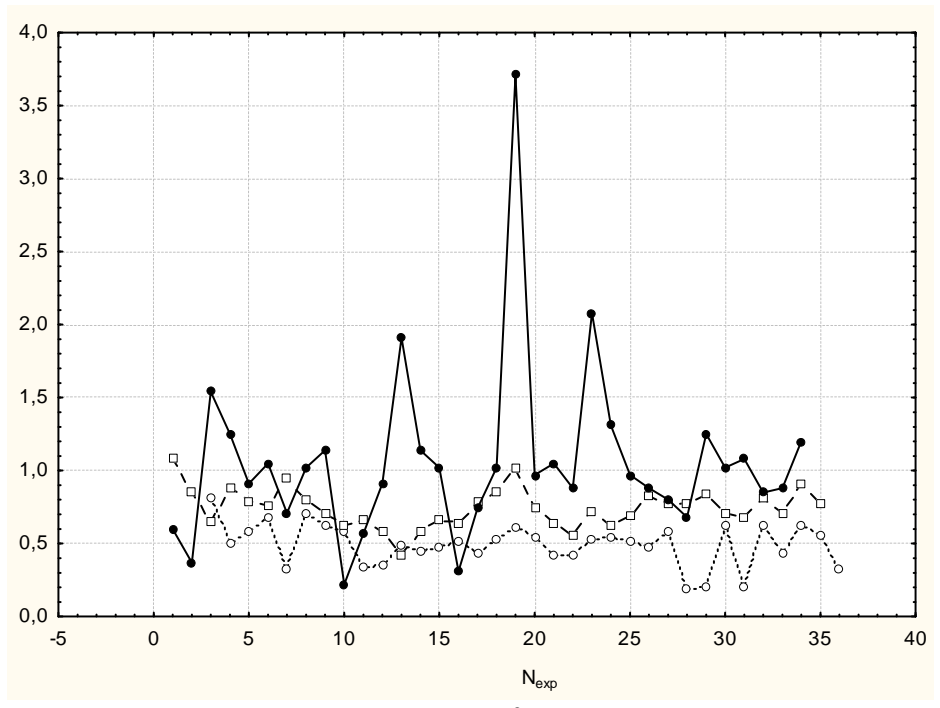
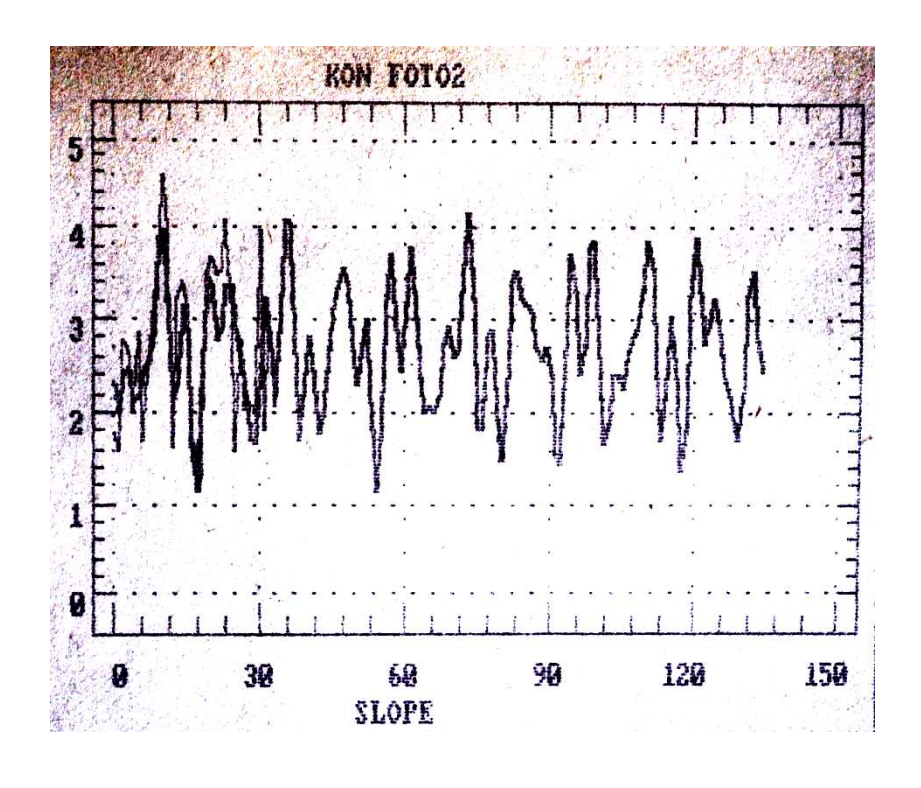


Рис.17. Распределение объема опухоли в см $^3$  (по оси ординат) от порядкового номера  $N_{\rm exp}$  расположения негатива в группе «опыт». На рисунке представлены три срока созревания опухолей.

Как видно из рисунка 17, определенная «автокорреляция» размеров опухолей становится в группе «опыт» все более очевидной с увеличением срока (соответственно размера) после перевивки опухоли. В группе «контроль» такой тенденции не наблюдается.

Более количественную оценку дает один из методов анализа рядов – прогноз гармоник, реализованной в программе «Эвриста». Результаты анализа представлены на Рис. 18 (A, Б, В).



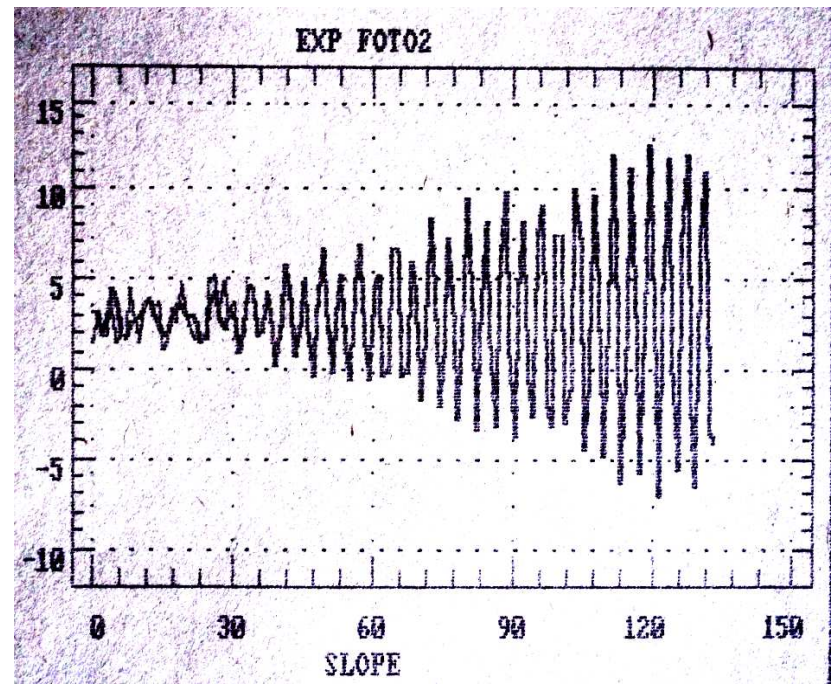


Рис. 18 Б.

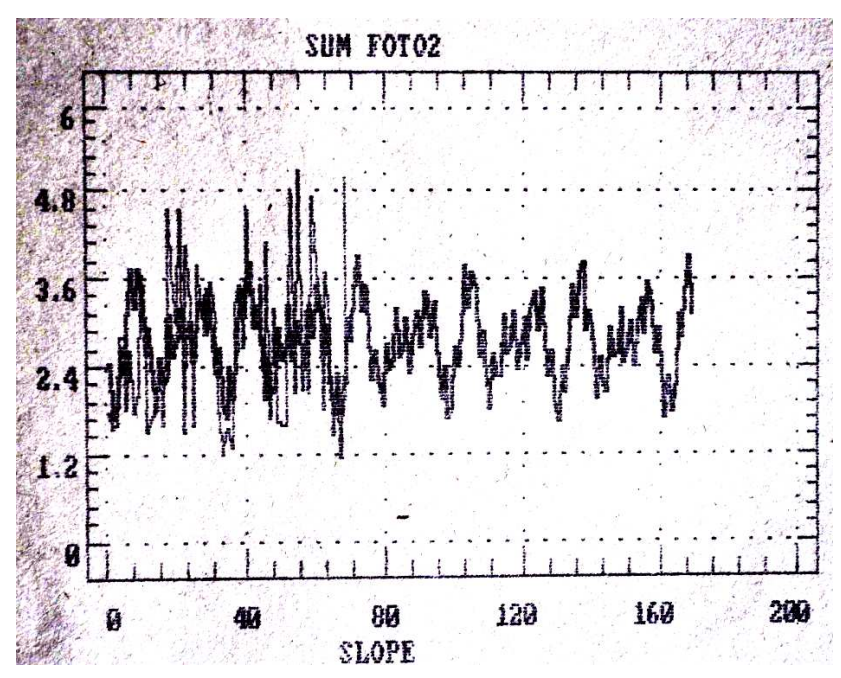


Рис. 18 В.

Как видно из сопоставления рисунков 18 (A, Б, В), группа «контроль» (Рис. 18 А) демонстрирует хаотическое поведение прогноза (хаос, вероятно, детерминирован).

Принципиально иной прогноз гармоник демонстрирует группа «опыт», подвергавшаяся воздействию активной зоны «телепортера» (Рис. 18 Б). Повидимому, имеет место биение нескольких характерных частот. Имея в виду

толщину негатива и их число легко вычислить «пространственную» частоту (набор частот).

Промежуточную картину демонстрирует исходный ряд (Рис. 18 В), в котором проявляются периодически повторяющиеся элементы детерминации ангармонического характера.

Если не быть слишком точным, можно отметить, что «телепортер» способствует установлению гармонического порядка из детерминированного хаоса.

Обращает на себя внимание глубокое (как нам кажется) сходство результатов, представленных на Рис. 4 А,Б и 16, 17. Не исключено, что факторы, обеспечивающие «структурирование» свойств объектов непосредственно (локально) и опосредованно, через образы — негативы (дистантно) имеют общую физическую природу. Дальнейшие исследования были посвящены исследованию соответствующих физических и биофизических механизмов, результатам, которым планируется посвятить отдельную публикацию. Здесь только отметим, что изучаемый фактор имеет волновые свойства, частично, в миллиметровом и субмиллиметровых диапазонах.

Интересно, что «особые» точки (обычно, максимумы) на Рис.16 и 17 близки (но не точно соответствуют!) константам «золотого сечения».

Обращает на себя внимание «самосогласованный» характер коллективных эффектов. Что позволяет поставить вопрос об определенных гомеостатических механизмах, обеспечивающих стабильность системы, при «информационном» воздействии на один из ее элементов. И очевидно, повысить эффективность дальнодействующего локального воздействия, приборного или операторно-приборного, при специально организованной экранировке объекта воздействия от связей с «системой».

Вероятно, что «пара-гомеостаз» не исключен и на социальном уровне, но тем самым, становятся возможными *неочевидные* «информационные» воздействия на Социум и Универсум. Не тут ли «зарыта» одна из причин чудовищной сложности развития и внедрения «информационной» парадигмы, да и трагизма судеб многих исследователей и исследовательских групп, целых научных направлений.

Описанные результаты получены в 1997 г. с использованием экспериментальной установки, показанной на Рис. 11. В дальнейшем использовали установку, представленную на Рис. 12. В качестве объектов воздействия, в частности, использовали негативы развивающихся куриных зародышей.

Полученные результаты свидетельствуют в пользу реальности дистантных воздействий на материальные объекты с использованием образов (вообще говоря, в некотором смысле, идеальных объектов), созданных физическими методами (в частности, негативов).

В заключении отметим, что обширная феноменология наблюдений не вполне понятных с точки зрения современных научных взглядов и традиций порождает естественное стремление к объяснению, то есть к интеграции в существующие парадигмы. Огромный пул наблюдений относится, прежде всего, к областям довольно условно (на наш взгляд) называемым «парапсихология и психофизика» во всем их многообразии. Скорее, вслед за К.Г.Юнгом и В.Паули следует говорить о «видимых проявлениях неизвестных принципов природы». Добавим, интерпретируемых в наших понятиях «принципов природы».

Однако интеграции не происходит, по крайней мере на интервале последнего этапа существования современной позитивистской науки (около 400 лет). Более того, может сложиться впечатление, что современная наука и магия (если называть вещи своими именами) являются своего рода «несмешивающимися жидкостями» и принципиально не могут быть объединены.

Очевидно, что потенциальное «Великое объединение» может немало дать как в практическом, так и мировоззренческом аспектах. Нужна ли Человеку такая непростая (требующая определенных интеллектуальных и духовных усилий) картина мира, может ли он без нее обойтись, будет ли двигаться по пути деградации в рамках «общества потребления», покажет время. В ином случае Человек должен стать (становиться) Человеком Ноосферы (25), а это ой как трудно, но принципиально необходимо для его выживания.

Заметные перспективы применения дистантных (нелокальных) приборных воздействий очевидны, как очевидна и опасность их негуманного или необдуманного применения. Очевидна необходимость создания средств защиты от такого типа воздействия, которое может длиться годами, (особенно, незаметно, исподволь, накапливаясь при длительном целенаправленном воздействии, в частности, на зародыши человека). Самые мрачные и больные фантазии социальных маньяков смогут стать незаметно и безжалостно уже наступающей реальностью.

Экспериментальные исследования Группы выполнены на базе биофизики неионизирующих излучений НИИ ЭДиТО РОНЦ РАМН. Автор выражает искреннюю и глубокую благодарность сотрудникам группы, руководителем которой он являлся до 2004 г. Автор отмечает сотрудников группы: С.В.Зиновьева, О.В.Астахову, Л.Т.Белецкую, М.Т.Ишутину (Калье), С.Зайцева, С.Прохорова, М.Круковскую, М.Тимофееву и мн. др. Без их квалифицированного и самоотверженного труда, терпения и стойкости данная работа, как и другие, пока еще не опубликованные исследования, была бы невозможна. Огромное спасибо коллегам и соратникам: Е.В.Хорошевой, В.М.Розенталю, А.Е.Акимову, Г.И.Шипову, В.Я.Тарасенко и мн. другим.

К сожалению, в 2004 г. определенные люди и силы остановили наши исследования. Бог им судья, да и нам тоже. Мы не смогли спасти свое

подразделение, создававшееся годами (1987 – 2004) и не отстояли дальнейшего развития перспективного научного направления. Одной из причин катастрофы было наше молчание (по ряду важных причин, очень мало публиковались) и элементы «самоизоляции».

Данная публикация, надеюсь, закрывает наш длительный период молчания.

## Литература

- 1. Смирнов А.Ю., Белецкая Л.Т., Астахова О.В.. Зиновьев С.В. Технология, закономерности и парадоксы переноса информации физическими полями в биологических исследованиях. Тезисы 1 Международного конгресса «Слабые и сверхслабые поля и излучения в биологии и медицине», Санкт Петербург, 1997, с. 55 56.
- 2. Смирнов А.Ю., Белецкая Л.Т. Новый способ воздействия на биологические объекты, созданные физическими методами. Тезисы докладов Первого международного симпозиума «Фундаментальные науки и альтернативная медицина», Пущино, 1997, с. 84.
- 3. Смирнов А.Ю. Гипотеза о существовании и структуре кода информационных взаимодействий. Тезисы докладов Первого международного симпозиума «Фундаментальные науки и альтернативная медицина», Пущино, 1997, с. 85.
- 4. Чекунов А.Я. Генератор излучения в биолокации. Биогеофизика No.2, 2004 (http://www.second-physics.ru/lib/articles/chekunov\_generator.pdf).
- 5. Акимов А.Е., Эвристическое обсуждение проблемы поиска дальнодействий. EGS концепция. МНТЦ ВЕНТ, Препринт 7A, М., 1991 г.
- 6. Шипов Г.И. Теория физического вакуума, Москва, Наука, 1996 г., 450 с.
- 7. Чернуха В.В. Поляризационная теория Мироздания, Москва, Атомэнергоиздат, 2008 г., - 658 с, с ил.
- 8. Акимов А.Е., Шипов Г.И. Сознание, физика торсионных полей и торсионные технологии // Сознание и физическая реальность. 1996. №1-2. 2.

- 9. Коёкина О.И., Родионов Б.Н., Соотношение активности мозга и тела в состоянии виртуального сознания // Сознание и физическая реальность, 1998, №6. с.56-60
- 10. Шелдрейк Р. Фокс М. Физика ангелов. Там, где встречаются наука и Дух. София, 2003.
- 11. Шелдрейк Р. Семь экспериментов, которые изменят мир. София, 2004.
- 12.Сперанский С.В., Что говорят о нас мыши или Эффект консервации эффекта», Знание сила, 11/1990, с 38 41.
- 13. Сперанский С.В., Опыт исследования биологической связи «человек животное». Информационные взаимодействия в биологии, Тбилиси, 1990, с. 53 75.
- 14. Бобров А.Б., Полевые информационные взаимодействия. Орел. ОрелГТУ, 2003. 569 с.
- 15. Пархомов А.Г., Космос. Земля. Человек., М.: Наука, 2009. 272 с.
- 16.Радюк М.С. Что стоит за золотым сечением. Химия и жизнь, №7, 1988 г. 66 67. (См. так же сайт «Квантовая магия»).
- 17. Егоров А.А., Абрашин Е.В. Индуцирование детерминируемых биений активности лактатдегидрогеназы при быстром подогреве. Биофизика, 1985. Т.30, Вып.1. С.159-160.
- 18.Шноль Э.С. Спонтанные обратимые изменения («конформационные колебания») препаратов мышечных белков. Дис. на соискание уч. ст. дра биол. наук. Пущино: ИБФ, АН СССР, 1969.
- 19. Смирнов А.Ю., Белецкая Л.Т. Чувствительные к магнитному полю колебания поляризации света, рассеянного на стенках пустой кюветы. Тезисы докладов первого международного симпозиума «Фундаментальные науки и альтернативная медицина», Пущино, 1997, с. 6.
- 20.Смирнов А.Ю., Астахова О.В. Частотная симметрия нестационарной флуоресценции растворов ЧСА. Тезисы докладов первого международного симпозиума «Фундаментальные науки и альтернативная медицина», Пущино, 1997, с. 5.

- 21. Смирнов А.Ю., Астахова О.В. «Эффект четности» в группах подопытных животных и его роль в экспериментальной онкологии», Тезисы докладов первого международного симпозиума «Фундаментальные науки и альтернативная медицина», Пущино, 1997, с. 24.
- 22. Смирнов А.Ю., Зиновьев С.В., Калашникова Г.Н. Исследование физических полей, сопровождающих смерть экспериментальных животных, «Фундаментальные науки и альтернативная медицина», Пущино, 1997, с. 25.
- 23. Коротаев С.М., Морозов А.Н., Сердюк В.О., Сорокин М.О. Проявление макроскопической нелокальности в некоторых естественных диссипативных процессах. Известия высших учебных заведений. Физика. 2001. №5. С.3 -14.
- 24. Долгушин Ю.А. ГЧ ( Генератор чудес ), Трудрезервиздат, 1959, с. 5, с. 113, с. 280-283.
- 25. Маленков А.Г. Ноосфера и человек ноосферы ( Т.II ), М., «Маджерик», 2009, 365 с., ил.